

## ເອກສາຮອ້າງອີງ

- ADA council on scientific affairs. (2003). Titanium applications in dentistry. **J Am Dent Assoc**, **134**(3), 347-349.
- Adachi, M., Mackert, J. R., Jr., Parry, E. E., & Fairhurst, C. W. (1990). Oxide adherence and porcelain bonding to titanium and Ti-6Al-4V alloy. **J Dent Res**, **69**(6), 1230-1235.
- Anusavice, K. J. (2003). **Phillips' Science Of Dental Materials**. 11<sup>th</sup> ed. St Louis: W. B. Saunders.
- Atsu, S., & Berksun, S. (2000). Bond strength of three porcelains to two forms of titanium using two firing atmospheres. **J Prosthet Dent**, **84**(5), 567-574.
- Binns, D. (1983). **The chemical and physical properties of dental porcelain**. Chicago, IL: Quintessence.
- Boening, K. W., Walter, M. H., & Reppel, P. D. (1992). Non-cast titanium restorations in fixed prosthodontics. **J Oral Rehabil**, **19**(3), 281-287.
- Brown, D. (1997). All you want to know about titanium, but were afraid to ask. **Br dent J**, **182**, 398-399.
- Cai, Z., Bunce, N., Nunn, M. E., & Okabe, T. (2001). Porcelain adherence to dental cast CP titanium: effects of surface modifications. **Biomaterials**, **22**(9), 979-986.
- Charalambides, P. G., Lund, J., Evans, A. G., & Mcmeeking, R. M. (1989). A test specimen for determining the fracture resistance of bimaterial interfaces. Cited in Suansuwan, N. (2001). **Application of strain energy release rate to characterize the adhesion at ceramic-metal interfaces**. Ph.D. thesis in Biomaterials Science, University of Sydney, Australia.
- Chung, H. G., Swain, M. V., & Mori, T. (1997). Evaluation of the strain energy release rate for the fracture of titanium-porcelain interfacial bonding. **Biomaterials**, **18**(23), 1553-1557.
- Craig, R. G., & Powers, J. M. (2002). **Restorative Dental Materials**. 11<sup>th</sup> ed. St Louis: The C.V. Mosby.

- Decha-umpai, A. (2009). **The adhesion of dental porcelain to titanium surface modified with alumina and silica blasting under argon atmosphere.** Master thesis in prosthodontics, Graduate school, Khon Kaen University.
- DeHoff, P. H., Anusavice, K. J., & Wang, Z. (1995). Three-dimensional finite element analysis of the shear bond test. **Dent Mater**, 11, 126-131.
- Donachie, M. J. (1988). **Titanium: A Technical Guide.** Metal park, Ohio: Asm International
- Giordano, R. A. (1996). Dental ceramic restorative systems. **Compend Contin Educ Dent**, 17(8), 779-782, 784-776 passim; quiz 794.
- Hammad, I. A., & Talic, Y. F. (1996). Designs of bond strength tests for metal-ceramic complexes: review of the literature. **J Prosthet Dent**, 75(6), 602-608.
- Hirata, T., Nakamura, T., Takashima, F., Maruyama, T., Taira, M., & Takahashi, J. (2001). Studies on polishing of Ti and Ag-Pd-Cu-Au alloy with five dental abrasives. **J Oral Rehabil**, 28(8), 773-777.
- Hussaini, I. S., & Wazzan, K. A. (2005). Effect of surface treatment on bond strength of low-fusing porcelain to commercially pure titanium. **J Prosthet Dent**, 94(4), 350-356.
- Ida, K., Tani, Y., Tsutsumi, S., Togaya, T., Nambu, T., Suese, K., et al. (1985). Clinical application of pure titanium crowns. **Dent Mater J**, 4(2), 191-195.
- Jones, T. K., Hansen, C. A., Singer, M. T., & Kessler, H. P. (1986). Dental implications of nickel hypersensitivity. **J Prosthet Dent**, 56, 507-509.
- Kasemo, B. (1983). Biocompatibility of titanium implants: surface science aspects. **J Prosthet Dent**, 49(6), 832-837.
- Kimura, H., Horng, C. J., Okazaki, M., & Takahashi, J. (1990). Oxidation effects on porcelain-titanium interface reactions and bond strength. **Dent Mater J**, 9(1), 91-99.
- Kononen, M., & Kivilahti, J. (2001). Fusing of dental ceramics to titanium. **J Dent Res**, 80(3), 848-854.
- Lacy, A. M. (1977). The chemical nature of dental porcelain. **Dent Clin North Am**, 21(4), 661-667.
- Lautenschlager, E. P., & Monaghan, P. (1993). Titanium and titanium alloys as dental materials. **Int Dent J**, 43(3), 245-253.

- Mackert, J. R., Jr., Parry, E. E., Hashinger, D. T., & Fairhurst, C. W. (1984). Measurement of oxide adherence to PFM alloys. **J Dent Res**, **63**(11), 1335-1340.
- McCracken, M. (1999). Dental implant materials: commercially pure titanium and titanium alloys. **J Prosthodont**, **8**(1), 40-43.
- McLean, J. W., & Huges, T. H. (1965). The reinforcement of dental porcelain with ceramic oxides. **Br Dent J**, 251-267.
- McLean, J. W., & Wilson, A. D. (1980). Butt joint versus bevelled gold margin in metalceramic crowns. **J Biomed Mater Res**, **14**(3), 239-250.
- Mori, T. (1993). Titanium. A review of investments for high temperature casting. **Aust Prosthodont J**, **7**, 31-34.
- Naylor, W. (Eds.) (1992). **Introduction to Metal Ceramic Technology**. Illinois: Quintessence.
- O'Brien, W. J. (2000). Strengthening mechanisms of current dental porcelains. **Compend Contin Educ Dent**, **21**(8), 625-630; quiz 632.
- Pang, I. C., Gilbert, J. L., Chai, J., & Lautenschlager, E. P. (1995). Bonding characteristics of low-fusing porcelain bonded to pure titanium and palladium-copper alloy. **J Prosthet Dent**, **73**(1), 17-25.
- Papadopoulos, T., Tsetsekou, A., & Eliades, G. (1999). Effect of aluminium oxide sandblasting on cast commercially pure titanium surfaces. **Eur J Prosthodont Restor Dent**, **7**(1), 15-21.
- Parr, G. R., Gardner, L. K., & Toth, R. W. (1985). Titanium: the mystery metal of implant dentistry. Dental materials aspects. **J Prosthet Dent**, **54**(3), 410-414.
- Probster, L., Maiwald, U., & Weber, H. (1996). Three-point bending strength of ceramics fused to cast titanium. **Eur J Oral Sci**, **104**(3), 313-319.
- Rosenblum, M. A., & Schulman, A. (1997). A review of all-ceramic restorations. **J Am Dent Assoc**, **128**(3), 297-307.
- Sadeq, A., Cai, Z., Woody, R. D., & Miller, A. W. (2003). Effects of interfacial variables on ceramic adherence to cast and machined commercially pure titanium. **J Prosthet Dent**, **90**(1), 10-17.



- Schmitz, K., & Schulmeyer, H. (1975). Determination of the adhesion of dental metal-porcelain bonding systems. **Dent Labor**, 23(12), 1416-1420.
- Suansuwan, N., & Swain, M. V. (1999). New approach for evaluating metal-porcelain interfacial bonding. **Int J Prosthodont**, 12(6), 547-552.
- Suansuwan, N., & Swain, M. V. (2003). Adhesion of porcelain to titanium and a titanium alloy. **J Dent**, 31(7), 509-518.
- Taira, M., Moser, J. B., & Greener, E. H. (1989). Studies of Ti alloys for dental castings. **Dent Mater**, 5(1), 45-50.
- Tholey, M. J., Waddell, J. N., & Swain, M. V. (2007). Influence of the bonder on the adhesion of porcelain to machined titanium as determined by the strain energy release rate. **Dent Mater**, 23(7), 822-828.
- Togaya, T., Kuwara, Y., Tsutsumi, S., Tani, Y., Ohyagi, S., Hiroshi, S., et al. (1992). Aluminous cement bonded magnesia investment for titanium casting. **J Jap Soc Dent mater Device**, 11(special issue), 264-265.
- Togaya, T., Suzuki, M., Tsutsumi, S., & Ida, K. (1983). An application of pure titanium to the metal porcelain system. **Dent Mater J**, 2(2), 210-219.
- Troia, M. G., Jr., Henriques, G. E., Mesquita, M. F., & Fragoso, W. S. (2008). The effect of surface modifications on titanium to enable titanium-porcelain bonding. **Dent Mater**, 24(1), 28-33.
- Wang, R. R., & Fenton, A. (1996). Titanium for prosthodontic applications: a review of the literature. **Quintessence Int**, 27(6), 401-408.
- Wang, R. R., & Fung, K. K. (1997). Oxidation behavior of surface-modified titanium for titanium-ceramic restorations. **J Prosthet Dent**, 77(4), 423-434.
- Wang, R. R., Welsch, G. E., & Monteiro, O. (1999). Silicon nitride coating on titanium to enable titanium-ceramic bonding. **J Biomed Mater Res**, 46(2), 262-270.
- Wataha, J. C. (2002). Alloys for prosthodontic restorations. **J Prosthet Dent**, 87(4), 351-363.
- Yamada, K., Onizuka, T., Endo, K., Ohno, H., & Swain, M. V. (2005). The influence of Goldbonder and pre-heat treatment on the adhesion of titanium alloy and porcelain. **J Oral Rehabil**, 32(3), 213-220.

- Yamada, K., Onizuka, T., Sumii, T., & Swain, M. V. (2004). The effect of Goldbonder on the adhesion between porcelain and pure titanium. **J Oral Rehabil**, 31(8), 775-784.
- Yamamoto, M. (1985). **Metal-Ceramics Principles and Methods of Makoto Yamamoto**. Illinois: Quintessence.

## **ภาคผนวก**

**ภาคผนวก ก**

**ข้อมูลจากการทดสอบด้วยวิธีกัดดัก 4 จุด**

ตารางที่ 8 ค่าแรงเฉลี่ย ( $P$ ) ที่ใช้ในการข่ายร้อยแต่กใน การทดสอบของแต่ละชั้นทดลอง

กลุ่มที่ 1		กลุ่มที่ 2		กลุ่มที่ 3		กลุ่มที่ 4	
ชั้นทดลองที่	$P$ (N)						
1	43.6421762	1	55.7069778	1	62.2084999	1	63.3529781
2	53.5326280	2	53.5660629	2	50.7724285	2	51.1439534
3	42.6112576	3	53.8976405	3	62.0954990	3	40.9787658
4	35.6778791	4	50.9197548	4	61.9791870	4	53.5823988
5	48.5915389	5	60.6161745	5	77.2610215	5	62.2704604
6	47.2397333	6	53.6898782	6	51.5992813	6	58.5583076
7	61.2010127	7	41.4155807	7	47.8859647	7	53.1891257
8	40.6307651	8	34.5177009	8	43.5115585	8	51.0739419
9	45.8793640	9	59.7281106	9	47.7201462	9	45.9249420
10	38.8202209	10	37.9076403	10	32.5758972	10	42.3772067

**ภาคผนวก ข**  
**การคำนวณค่า  $G$**

ตารางที่ 9 ค่า Strain energy release rate ( $G$ ) ของแต่ละชิ้นทดสอบ

กลุ่มที่ 1		กลุ่มที่ 2		กลุ่มที่ 3		กลุ่มที่ 4	
ชิ้นทดสอบที่	$G$ (J/m <sup>2</sup> )						
1	7.654315	1	10.14126	1	11.68960	1	16.09599
2	7.949122	2	12.96282	2	13.18419	2	11.82810
3	8.991574	3	22.82175	3	21.64703	3	10.51551
4	8.952306	4	18.32593	4	22.57239	4	14.51854
5	12.26058	5	16.58463	5	20.81171	5	15.11336
6	8.031184	6	22.32476	6	11.88153	6	14.68417
7	13.17384	7	11.42485	7	15.59343	7	21.75953
8	12.61940	8	9.698966	8	10.57506	8	13.27327
9	14.26057	9	19.92946	9	18.79694	9	20.76171
10	15.22713	10	11.86743	10	9.771566	10	17.04152

$$G = \frac{\eta(P^2 l^2 (1 - \nu_m^2))}{E_m b^2 h^3}$$

$P$  หมายถึง ค่าแรงที่ได้จากการทดสอบ

$l$  หมายถึง ค่าระยะทางระหว่างจุดกดคู่ในกับจุดกดคู่นอก ในแต่ละเดือน

$\nu_m$  หมายถึง ค่าอัตราส่วนของปัวซอง (Poisson's ratio) ของไทเทเนียม

$E_m$  หมายถึง ค่าอิลาสติก模量 (Elastic modulus) ของไทเทเนียม

$b$  หมายถึง ความกว้างของชิ้นทดสอบ

$h$  หมายถึง ความหนาทั้งหมดของชิ้นทดสอบ

$\eta$  หมายถึง ค่าคงที่ได้จากการคำนวณ ดังสมการที่ 4

ตารางที่ 10 ค่าคงที่ ( $\eta$ ) ของแต่ละชั้นทดลอง

กลุ่มที่ 1		กลุ่มที่ 2		กลุ่มที่ 3		กลุ่มที่ 4	
ชั้นทดลองที่	$\eta$	ชั้นทดลองที่	$\eta$	ชั้นทดลองที่	$\eta$	ชั้นทดลองที่	$\eta$
1	5.47174282	1	4.71601686	1	3.73907769	1	5.25686969
2	3.36386179	2	5.42856488	2	5.56318435	2	5.03246243
3	5.25686969	3	9.59952036	3	6.72253884	3	6.29994145
4	7.83784571	4	8.08638455	4	7.58290562	4	5.92853659
5	5.92000990	5	5.23170892	5	4.66922549	5	4.92356548
6	4.18745121	6	8.86759257	6	5.60363089	6	5.95686379
7	4.02398274	7	8.07347485	7	7.39023954	7	7.88106067
8	8.36035987	8	9.59952036	8	6.72253884	8	5.56318435
9	7.59826724	9	6.11467239	9	9.89857904	9	9.79570233
10	9.48998652	10	8.65072789	10	9.13031527	10	9.53798030

$$\eta = \frac{3}{2} \left\{ \frac{1}{\left( \frac{h_m}{h} \right)^3} - \left( \frac{\lambda}{\left( \frac{h_p}{h} \right)^3 + \lambda \left( \frac{h_m}{h} \right)^3 + 3\lambda \left( \frac{h_p h_m}{h} \right) \left( \frac{h_p}{h} + \frac{\lambda h_m}{h} \right)^{-1}} \right) \right\}$$

$h_m$  หมายถึง ความหนาของชั้นไทเทเนียมของชั้นทดลอง

$h_p$  หมายถึง ความหนาของชั้นพอร์ซเลนของชั้นทดลอง

$h$  หมายถึง ความหนาทั้งหมดของชั้นทดลอง

$\lambda$  หมายถึง ค่าคงที่ ได้จากการคำนวณ ดังสมการที่ 5

## การคำนวณค่า $\lambda$ จากสูตร

$$\lambda = \frac{E_m (1 - \nu_p^2)}{E_p (1 - \nu_m^2)}$$

$$\lambda = \frac{107.2 (1 - 0.2^2)}{66.3 (1 - 0.3^2)}$$

$$\lambda = 1.7057$$

$E_m$ หมายถึง	ค่าอัตราสติกลมอุดถ์ส (Elastic modulus) ของไทเทเนียม
$E_p$ หมายถึง	ค่าอัตราสติกลมอุดถ์ส (Elastic modulus) ของพอร์เชลิน
$\nu_m$ หมายถึง	ค่าอัตราส่วนของปีวะของ (Poisson's ratio) ของไทเทเนียม
$\nu_p$ หมายถึง	ค่าอัตราส่วนของปีวะของ (Poisson's ratio) ของพอร์เชลิน

**ภาคผนวก ค**  
**การเผยแพร่ผลงานวิชาการในพนธ์**



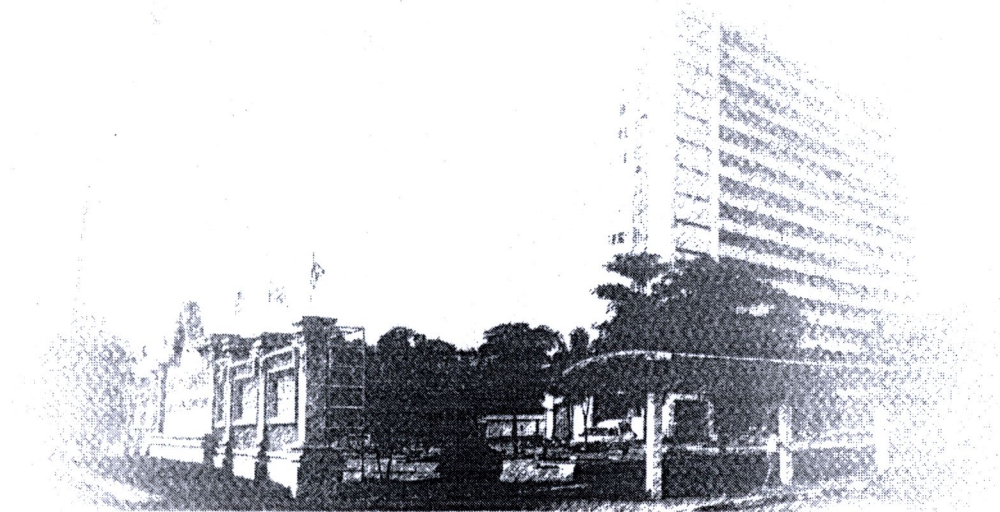
# PROCEEDINGS

การประชุมเสนอผลงานวิจัยระดับบัณฑิตศึกษาแห่งชาติ ครั้งที่ ๑๗

The 17<sup>th</sup> National Graduate Research Conference

และ การสัมมนาวิชาการเพื่อเผยแพร่ผลงานวิจัยสู่ชุมชน ครั้งที่ ๕

๒๕ มิถุนายน ๒๕๕๓ ณ มหาวิทยาลัยราชภัฏบุรีรัมย์



บ้านพักบัณฑิตวิทยาลัย และสถาบันวิจัยและพัฒนา

มหาวิทยาลัยราชภัฏบุรีรัมย์

**การสอนคณิตงานวิจัยแบบปฏิสัมพันธ์ กับ...วิทยาศาสตร์สุขภาพ...ห้อง...บริเวณห้องโถง ห้องประชุมพุทธรักษา ชั้น 3.....**

ลำดับที่	ชื่อผู้นำเสนอผลงาน	ระดับ	สาขาวิชา	หัวเรียนวิชัย
P-HS-01	นางสาวประภารัช ถุนวงศ์	บ.ก.	โภชนาศึกษาเพื่อสุขภาพ มหาวิทยาลัยขอนแก่น	การสอนภาษาอังกฤษผู้ป่วยมะเร็งที่ได้รับเคมีบำบัด ศูนย์มะเร็งอุดรธานี Nutrition Status of Cancer Patients Undergoing Chemotherapy Udonthani Regional Cancer Center
P-HS-02	นายฤทธานุ ชิมพาณย์	บ.ก.	พัฒนากรรมประดิษฐ์ มหาวิทยาลัยขอนแก่น	ผลการซึ่ดติดระหว่างพorphyrinและไทเทเนียมเพื่อพยายามได้ปรับขนาดช้าลง The effect of sintering under argon atmosphere on the adhesion between dental porcelain and titanium
P-HS-03	นางสาวรุ่งอรุณ สรพัฒนาวงศ์	บ.ก.	พัฒนากรรมประดิษฐ์ มหาวิทยาลัยขอนแก่น	การเปรียบเทียบสมบัต้าน้ำยาของเบรซอลโลหะสมทึกสำหรับการเคลือบด้วยวิธีการกดและดูด การเปรียบเทียบสีของสารเคลือบด้วยวิธีการกดและดูด Comparison of color parameter of pressed on and conventional veneered porcelain to metal alloy

## ผลการยึดติดระหว่างพอร์ซเลนและไทเทเนียมที่เผาภายใต้บรรยากาศอาร์กอน

### THE EFFECT OF SINTERING UNDER ARGON ATMOSPHERE ON THE ADHESION BETWEEN DENTAL PORCELAIN AND TITANIUM

บุษราชา อินกรานองไฝ / พศ.คร.นภา ฤทธิ์

มหาวิทยาลัยขอนแก่น

#### บทคัดย่อ

ปัจจุบันมีความพยายามที่จะนำไทเทเนียมมาใช้ในงานฟันเทียบชนิดติดแน่น แต่ปัญหาที่พบ การยึดติดระหว่างไทเทเนียมและพอร์ซเลนมีค่าต่ำ จึงมีศึกษาหารือการต่างๆเพื่อให้การยึดติดระหว่าง ไทเทเนียมกับพอร์ซเลนดีขึ้น แต่ยังไม่พบวิธีที่เหมาะสมที่จะนำไปใช้งานได้ วัสดุประสงค์ งานวิจัยนี้มี วัสดุประสงค์เพื่อศึกษาผลการยึดติดระหว่างไทเทเนียมกับพอร์ซเลนเมื่อเผาในบรรยากาศอาร์กอนใน ระยะต่างๆกัน โดยวัดค่าการยึดติดในรูปของค่า strain energy release rate หรือค่า G (G-value) วิธีการวิจัย เห็นได้ ให้เผาในห้องเผาเป็นแผ่นขนาดประมาณกว้าง 8 มิลลิเมตร ยาว 30 มิลลิเมตร หนา 1 มิลลิเมตร จำนวน 40 ชิ้น ขั้นตอนค้านที่จะบีบติดกับพอร์ซเลนด้วยกระดาษทรายที่มีเส้นผ่าศูนย์กลาง 0.05 มิลลิเมตร ที่หัวห้องเผา ที่อุณหภูมิ 30% 60 มิลลิเดกรีด บรรจุไครофลูออริก 40% 10 มิลลิเดกรีด และน้ำกัดสั่น 30 มิลลิเดกรีด เป็นเวลา 30 วินาทีแล้วล้างน้ำ หลังจากนั้นปaste ด้วยพงะสูญมินาขนาด 110 ไมโครเมตรและทาคิวด้วยสารซีด โดยทั้งหมดทำในบรรยากาศอาร์กอน แบ่งชิ้นทดลองออกเป็น 4 กลุ่มๆ ละ 10 ชิ้น โดยกลุ่มที่ 1 นำไปเผาในบรรยากาศปกติแล้วเคลือบผิวด้วยโซเดียมทินพอร์ซเลนและ เทาความที่บริษัทกำหนดในบรรยากาศปกติ ส่วนที่เหลือนำไปเผาในบรรยากาศอาร์กอน หลังจากนั้น สร้างชิ้นโซเดียมทินพอร์ซเลนสำหรับกลุ่มที่ 2 และเผาในบรรยากาศปกติ ส่วนกลุ่มที่ 3 สร้างชิ้น พอร์ซเลนในลักษณะเดียวกันแต่เผาในบรรยากาศอาร์กอนถึงชั้นโซเดียมทินพอร์ซเลน ส่วนชิ้นเด่นที่นินพอร์ซเลนเผาในบรรยากาศปกติ กลุ่มที่ 4 เพาในบรรยากาศอาร์กอนทุกชิ้นตอน จากนั้นนำชิ้นทดลอง ทั้งหมดมาขัดเพื่อให้เรียบและมีความหนาที่เท่ากันตลอด นำไปบาลานซ์ด้วยเครื่องทดสอบสายตา (Universal testing machine) ในลักษณะการกดด้วย 4 จุด (Four-point bending) บันทึกค่าแรงเพื่อ นำมามำนวนค่า G ผลการศึกษา ได้ค่าเฉลี่ยและความเบี่ยงเบนมาตรฐานของกลุ่ม 1,2,3,4 ตามลำดับ ค้างนี้คือ  $10.90 \pm 2.87 \text{ J/m}^2$ ,  $15.60 \pm 5.02 \text{ J/m}^2$ ,  $15.67 \pm 4.87 \text{ J/m}^2$  และ  $15.57 \pm 3.59 \text{ J/m}^2$  ตามลำดับ เมื่อ วิเคราะห์ผลทางสถิติด้วยการวิเคราะห์ความแปรปรวนทางเดียวแล้วเปรียบเทียบเชิงชั้นแบบ Bonferroni พบว่าทุกกลุ่มไม่แตกต่างกันทางสถิติ ( $p < 0.05$ ) สรุปผลการวิจัย ภายในได้ข้อสรุปดัง

การประชุมเสนอผลงานวิจัยระดับบัณฑิตศึกษาแห่งชาติ ครั้งที่ 17  
และการสัมมนาวิชาการเพื่อเผยแพร่วิจัยสู่ชุมชน ครั้งที่ 5

การศึกษานี้พบว่าการใช้ดิ屈ระหว่างไกเทเนียมกับพอร์ซเลนที่เกิดจากการเผาชิ้นทดลองในบรรยากาศ  
อาร์กอนในระดับต่างๆกัน มีค่าไม่แตกต่างกัน

**คำสำคัญ:** ไกเทเนียม, พอร์ซเลน, การเชื่อมติด, บรรยายภาพอาร์กอน, งานพื้นปะลอน

#### ABSTRACT

Nowadays there were attempts to use titanium for porcelain-fused-to-metal restorations in fixed prosthodontics. The problems occurred was the adhesion between titanium and porcelain was low. Many methods were therefore applied to improve the adhesion but they have not been solved. **Objective:** The study aimed to determine the adhesion between titanium and porcelain after firing under argon atmosphere at different stages. The adhesion was determined in terms of the strain energy release rate (*G*-value). **Materials and methods:** Forty titanium plates were cast and ground to a rectangular form of 8 mm. x 30 mm. x 1 mm. with silicon carbide paper. The bonding surface of titanium plate was etched with a mixture of 40% hydrofluoric acid 10 ml, 30% hydrogen peroxide 60 ml and distilled water 30 ml for 30 seconds and then rinsed with water. It was then blasted with 110 µm alumina powder, cleaned in distilled water and applied with the bonder. The procedures were undertaken in argon atmosphere. All samples were divided into four groups. The samples in Group I, which were already applied with the bonder, were fired then applied with opaque and dentin porcelain and fired step by step conventionally. The rest of the samples were fired in argon atmosphere. In Group II the samples were then applied with opaque and dentin porcelain and fired step by step conventionally. Group III and IV samples were fired in argon atmosphere, applied with opaque porcelain and fired in argon atmosphere, and after applying dentin porcelain, only the Group IV samples were fired in argon atmosphere. The samples in all groups were ground to achieve the desired shape and size. They were then notched on the porcelain side across the width at the center and pre-crack was created. Kerosene was used during notching and pre-cracking to prevent the interface to contact with water or moisture in air. The notched samples were subjected to four-point bending force in a universal testing machine. The loading data were collected for *G*-value calculation. **Results:** the means and standard deviation of *G*-value for group I,II,III,IV were  $10.90 \pm 2.87 \text{ J/m}^2$ ,  $15.60 \pm 5.02 \text{ J/m}^2$ ,  $15.67 \pm 4.87 \text{ J/m}^2$ ,  $15.57 \pm 3.59 \text{ J/m}^2$  respectively. Findings from one-way ANOVA and Bonferroni test showed that the mean of *G*-value of all groups were not significantly

การประชุมเสนอผลงานวิจัยระดับบัณฑิตศึกษาแห่งชาติ ครั้งที่ 17  
และการสัมมนาวิชาการเพื่อเผยแพร่วิจัยด้านวิจัยชุมชน ครั้งที่ 5



686

different ( $p<0.05$ ). **Conclusions:** Within the limitation of the study, it could be concluded that the adhesion between titanium and porcelain when firing the titanium-porcelain samples in argon atmosphere at the different stages were not significantly different.

**Keywords:** titanium, porcelain, adhesion, argon atmosphere, fixed prosthodontics

### บทนำ

ในงานทันตกรรมประดิษฐ์ การบูรณะฟันด้วยครอบฟันที่ใช้โลหะร่วมกับพอร์ซเลนเป็นที่นิยมและใช้กันมากเนื่องจากพอร์ซเลนมีความสวยงามที่ค้าขายดีกับฟันธรรมชาติและมีความแข็งแรงจากโลหะ แต่ครอบฟันชนิดนี้มีข้อควรคำนึงที่สำคัญคือการขัดดิคระหว่างโลหะและพอร์ซเลน ซึ่งเกิดขึ้นกับชั้นของอุกไชด์ที่อยู่ระหว่างโลหะกับพอร์ซเลน เนื่องจากด้านล่างอุกไชด์หนามากกินไป จะมีผลทำให้การขัดดิสแล้มเหลวได้เพราะชั้นของอุกไชด์มีความประาะและไม่แข็งแรงเกิดการแตกหักได้ (Wataha, 2002) ซึ่งจะทำให้ชั้นพอร์ซเลนแยกออกจากโลหะ โดยหัวไว้โลหะที่ใช้กือหองผสานหรือทองขาวผสมซึ่งมีรากฐาน ซึ่งมีความคิดที่จะนำโลหะไทเกเนียมซึ่งมีรากฐานกว่ามาทดแทน เนื่องจากไทเกเนียมมีคุณสมบัติที่สำคัญเนื่องเอื้อได้เป็นอย่างดี ความทนทานต่อการสึกกร่อน มีความแข็งแรงสูง แม้มีหัวต้องหือก็ตามจะทำปฏิกิริยากับการขัดดิสแลนในอนาคตได้ง่ายโดยเฉพาะเมื่ออุณหภูมนิ่งสูงขึ้น จะเกิดชั้นของอุกไชด์ที่หนามาก จึงมีผลทำให้การขัดดิคระหว่างไทเกเนียมและพอร์ซเลนไม่แข็งแรง (Lautenschlager & Monaghan, 1993; Wang & Fenton, 1996; Wang & Fung, 1997)

ปัญหาสำคัญของการขัดดิคระหว่างพอร์ซเลนและไทเกเนียม ชั้นของอุกไชด์ของไทเกเนียมจะหนามากขึ้นเมื่ออุณหภูมนิ่งสูงกว่า 800 องศาเซลเซียส ดังนั้นจึงเป็นต้องใช้พอร์ซเลนชนิดพิเศษที่หลอมเหลวที่อุณหภูมิต่ำกว่า 800 องศาเพื่อให้เกิดการขัดดิสแลนโดยชั้นของอุกไชด์ไม่หนามากกินไป (Pang et al., 1995) และมีการศึกษาเพื่อหารือวิธีการปรับปรุงรูปแบบไทเกเนียมก่อนการเคลือบชั้นพอร์ซเลนเพื่อตั้งเรื่นให้เกิดการขัดดิสแลนที่เข้ม เช่นการขัดดิสไว้ไทเกเนียมด้วยพองอุบินา (Papadopoulos, Tsetsekou, & Eliades, 1999) การใช้กรดกัลเชี่ยวโลหะสามารรถช่วยเพิ่มการขัดดิสแลนได้ชั่วขั้น (Cai et al., 2001) การป้ายราร่วมกับการใช้กรดกัลเชี่ยวโลหะเปลี่ยนก่อนทาสารขัดดิส (Bonding agent) (Al Hussaini & Al Wazzan, 2005) การใช้สารขัดดิสชนิดทอง (Gold bonder<sup>TM</sup>) (1 2003; Yamada et al., 2005) การ Hera พอร์ซเลนในสภาพแวดล้อมของกาซอะโรกอน (Atsu & Berksun, 2000) จากการศึกษาของชาเดคและคายะ (Sadeq et al., 2003) พบว่าการเคลือบดิสไว้ไทเกเนียมด้วยทองก่อนการเคลือบชั้นพอร์ซเลนและเพาในสภาพแวดล้อมที่มีกาซอะโรกอนແแทบที่กาซออกไซเจน การขัดดิสของพอร์ซเลนกับไทเกเนียมดีขึ้น เนื่องจากการเกิดชั้นของอุกไชด์ของไทเกเนียมน้อยลง ได้ หรือการเคลือบดิสไว้ด้วยซิลิโคนไนโตรค์ (Wang, Welsch, & Monteiro, 1999) เพราะฉัติกาและอุณหภูมิในการเคลือบชั้นพอร์ซเลนเป็นสารที่ทำ

ปฏิริยาภัยของไข้ดูดไข่คิดเกิดขึ้น แต่ผลการศึกษาการป้องกันเท่ากับไม่ต่างกัน

ในทางอุดสาಹกรรมอาร์กอนถูกน้ำไปใช้ข่ายแพร์ฟาราชในอุดสาหกรรมเชื่อมตัดโลหะเนื่องจากอาร์กอนเป็นกําลังเพื่อป้องกันการซึมเข้าไปในโลหะ ดังนั้นจึงนิยมใช้อาร์กอนเป็นกําลังป้องกันในระหว่างเชื่อมเพื่อป้องกันไม่ให้ชื้นงานสัมผัสกับอากาศ อาร์กอนเป็นกําลังเพื่อป้องกันการทําพิบูรณ์ในบรรยายการประมวล 0.94% ของอากาศในไตรเจน และออกซิเจน อาร์กอนไม่มีสีไม่มีกลิ่นและไม่เป็นพิษ จึงเกิดแนวคิดในการเตรียมรั้นทดลง ซึ่งเคลือบชั้นพอร์ชเลนด้วยวิธีตามปกติและการเผาในบรรยายการอาร์กอนซึ่งเป็นสภาวะที่มีออกซิเจนน้อย โดยคาดว่าจะมีผลในการควบคุมการเกิดปฏิกิริยาออกซิเดชัน เกิดชั้นอนกไซด์ของโลหะไกเกเนียมที่บางท่าให้การยึดคงระหว่างไกเกเนียมและพอร์ชเลนแข็งแรงมากขึ้น

ในการทดสอบการปิดติดของโลหะกับพอร์ชเลนสามารถดูดออกแบบการทดสอบได้หลาย  
ลักษณะ เช่น ทดสอบด้วยแรงเฉือน (Shear test) ทดสอบด้วยแรงดึง (Tensile test) ทดสอบด้วยแรง  
เฉือนร่วมกับแรงงอ (Torsion test) หรือทดสอบด้วยแรงตื้ด (Bend, flexure  
test) (Hammod & Talić, 1996) อย่างไรก็ตามการทดสอบการปิดติดส่วนมากจะสัมผัสรักบันแรงที่  
กระทำกับระยะที่พื้นผิวและระดับแรงที่กระทำ ทำให้วัดค่าความแข็งแรงการปิดตื้ดที่แท้จริงได้ยาก ก่อ<sup>1</sup>  
มอคุลส์ของสภาพปิดตื้ดยุ่นที่แตกต่างกันของโลหะและพอร์ชเลนจะมีผลต่อการทดสอบ ทำให้ไม่  
สามารถเปรียบเทียบผลการทดสอบกับโลหะและพอร์ชเลนที่ต่างระบบกันได้ (Chung, Swain, &  
Mori, 1997) Caputo และคณะ (1977) รายงานว่าการทดสอบด้วยวิธีการให้แรงลงสี่จุด (Four-point  
loading test) จะไม่เกิดแรงเฉือนและแรงดึงที่เกิดจากแรงกด เมื่อจากมีการทำให้เกิดรอบข่ายยก  
ระหว่างพอร์ชเลนและโลหะเป็นแนวว่าทางไว้ก่อน เครื่องมือสามารถประดิษฐ์ได้ง่ายและความหนา  
ของพอร์ชเลนและโลหะจำลองสภาพไกส์เกียงกับสภาพในคลินิก และจากการศึกษาของ Chung  
และคณะ (1997) ศูปีได้ว่าการทดสอบการทนทานต่อการเกิดรอบข่ายยกระหว่างชิ้นส่วนของนิค  
สามารถใช้ในการวัดค่าการปิดติดระหว่างพื้นผิวโลหะและพอร์ชเลนและไกเกเนียมได้ โดยเรียกค่าถ่วงด้วยกันว่า  
Strain energy release rate ( $G$ ) ซึ่งนั้นการทดสอบและวัดค่าความแข็งแรงด้วยวิธีนี้ความแตกต่างของ  
โลหะไกเกเนียมและพอร์ชเลนจึงไม่มีผลต่อการวัดค่าในการทดสอบ

## ວັດຖຸປະສົງຄໍ/ ຄໍາຄາມວິຈີຍ

งานวิจัยนี้มีวัตถุประสงค์เพื่อศึกษาผลการขึ้นติดครัวห่วงไทยที่เนี่ยมกับพ่อรorchเล่นเมื่อเพาในบรรณาการสร้างกันในระบบต่างๆกัน

$H_0$ : ค่าเฉลี่ยของ Strain energy release rate ( $G$ -value) ระหว่างไก่เนื้อยกับพ่อร็อกเลนใน การเพาะข้าวต่างๆ ในบรรดาศาสตร์ก่อนและบรรดาศาสตร์ปกติไม่แตกต่างกัน

$H_A$ : ค่าผลลัพธ์ของ Strain energy release rate (G-value) ระหว่างไทเกเนียมกับพอร์ชเลน  
ในการเผาขันต่างๆ ในบรรยายการศาร์กอนและบรรยายการปิดติดกันทัน

### วิธีการวิจัย

เตรียมชิ้นไทเกเนียมรูปสี่เหลี่ยมผืนผ้าขนาด  $8 \times 30 \times 1$  ถูกน้ำยาศักดิ์สิทธิ์ จำนวน 40 ชิ้น ด้วยการเทวีงจากโลหะไทเกเนียม (Commercially pure titanium, J3, J.Morita Corp., Japan) ขัดแต่งคิวไทเกเนียมให้เรียบด้วยกระดาษทรายทราย จากนั้นปรับคิวไทเกเนียมภายใต้บรรยายการศาร์กอน โดยใช้สารกัดผิวซึ่งเป็นส่วนผสมของไฮโดรเจนเปอร์ออกไซด์ (Hydrogen peroxide) 30% 60 มิลลิลิตร, กรดไฮโดรฟลูอิริก (Hydrofluoric acid) 40% 10 มิลลิลิตร และน้ำกลั่น 30 มิลลิลิตรเป็นเวลา 30 วินาที ล้างด้วยน้ำกลั่นแล้วนำไปด้วยฟองอุฐมีเนียมออกไซด์ขนาด 110 ไมครอน ที่ความดัน 3 บาร์ ล้างทำความสะอาดด้วยน้ำกลั่นที่ให้แห้งแล้วทาสารเชิง (Bonding agent) เพื่อเตรียมเพาในขั้นตอนต่อไปโดยถุงเลือกชิ้นทดลองแบ่งออกเป็น 4 กลุ่มๆ ละ 10 ชิ้น

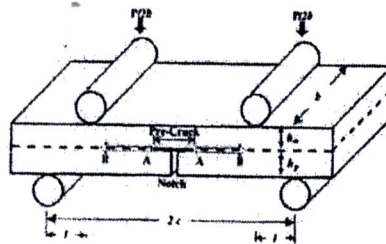
ชิ้นทดลองกลุ่มที่ 1 นำไปเผาภายใต้บรรยายการปิดติด จากนั้นสร้างชิ้นพอร์ชเลน (Vita Titakeramik) ตามลำดับคือ ไอเพคและเดนทีโนนและเผาในบรรยายการปิดติดที่อุณหภูมิความร้อนที่บริษัทกำหนด

ชิ้นทดลองกลุ่มที่ 2 นำไปเผาภายใต้บรรยายการศาร์กอน จากนั้นสร้างชิ้นไอเพคและเดนทีโนน พอร์ชเลนและเผาที่อุณหภูมิความร้อนที่บริษัทกำหนดในบรรยายการปิดติด

ชิ้นทดลองกลุ่มที่ 3 นำไปเผาและสร้างชิ้นไอเพคพอร์ชเลนและเผาภายใต้บรรยายการศาร์กอน จากนั้นสร้างชิ้นเดนทีโนนพอร์ชเลนและเผาในบรรยายการปิดติด

ชิ้นทดลองกลุ่มที่ 4 นำไปเผาและสร้างชิ้นพอร์ชเลนและเผาภายใต้บรรยายการศาร์กอน

หลังจากนั้นนำไปทำรอยเริ่มแตก (Pre-cracked) โดยใช้ Rotary diamond-cutting blade กรอชิ้นพอร์ชเลนบริเวณกึ่งกลางชิ้นทดลอง ทดสอบตามแนววางไข่ให้เกิดเป็นร่องศอกจนถึงชิ้นโลหะและกว้างประมาณ 0.4 มิลลิเมตร ใช้น้ำมันก้าวเคลื่อนร่องจะต้องมีความตึงตัว แล้วใช้ Special bending jig ดัดชิ้นทดลองโดยใช้แผ่นยางรองชิ้นทดลอง แล้วหามุนสกรูที่ละน้อของนิรภัยหัวห่วงเกิดรอบแยกระหว่างชิ้นพอร์ชเลนกับชิ้นไทเกเนียม นำชิ้นทดลองไปทดสอบในลักษณะกดตัด 4 จุด (Four-point bending jig) ในเครื่องทดสอบสามlod (Universal testing machine)



ภาพ 1 ลักษณะการกดดั้ง 4 จุด (Four-point bending)

ใช้หัวกดในอัตราเร็ว 0.1 มิลลิเมตรต่อนาที ให้เกิดรอยแยกข่ายกาวงอกไปปัจจุบันทั้งถึงเท่ากับด้านใน ทำการบันทึกค่าแรงที่ใช้และระยะทางของหัวกดจากเครื่องเพื่อนำไปคำนวณหาค่า Strain energy release rate ( $G$ -value)

$$G = \frac{\eta [P^2 l^2 (1 - v_m^2)]}{E_m b^2 h^3} \quad (1)$$

$P$  คือ แรงเฉลี่ยที่กด

$\eta$  คือ ค่าต่างของ modulus ระหว่างพอร์ชเลนและไทเทเนียม

$l$  คือ ระยะห่างระหว่างแท่งกอล์ฟามชั้งในกับชั้งนอก

$v_m$  และ  $E_m$  คือ poisson's ratio และ elastic modulus ของโลหะ

$b$  คือ ความกว้างของชิ้นทดสอบ

$h$  คือ ความหนาของชิ้นทดสอบ

โดยค่า  $\eta$  คำนวณจากสูตร

$$\eta = \left( \frac{3}{2} \right) \left[ \frac{1}{(h_m/h)^3} - \frac{\lambda}{\left( (h_p/h)^3 + \lambda(h_m/h)^3 + 3\lambda(h_p h_m/h^2)(h_p/h) - (\lambda h_m/h) \right)^{-1}} \right] \quad (2)$$

และสูตร

การประชุมเสนอผลงานวิจัยระดับบัณฑิตศึกษาแห่งชาติ ครั้งที่ 17  
และการสัมมนาวิชาการเพื่อเผยแพร่วิจัยสู่ชนชั้น ครั้งที่ 5

$$\lambda = \frac{E_m(1 - v_p^2)}{E_p(1 - v_m^2)} \quad (3)$$

$v_p$  และ  $E_p$  ก็อ poisson 's ratio และ elastic modulus ของพอร์ชเลน  $h_p$  และ  $h_m$  ก็อ ความหนาของพอร์ชเลนและความหนาของโลหะตามลำดับ

นำข้อมูลที่ได้ไปวิเคราะห์ข้อมูลทางสถิติด้วยโปรแกรมสถิติ SPSS ทดสอบความแตกต่างระหว่างค่าเฉลี่ย Strain energy release rate ( $G$ -value) ของการปิดติดระหว่างพ่อร์ชเลนกับไบทาเนียมด้วย One-way analysis of variance (ANOVA) ที่ช่วงความเชื่อมั่น 95 % ทดสอบความแตกต่างระหว่างกลุ่มเป็นคู่ Multiple comparison ด้วย Bonferroni test

ผล/ สรุปผลการวิจัย

จากการทดสอบพบว่าค่าแรงกับระยะทางการเคลื่อนที่ของหัวกด (Load-displacement curve) จะเพิ่มขึ้นเป็นเส้นตรงในแนวเส้นเอียง (Slope) ในช่วงแรก แสดงถึงค่าแรงที่ซึ้งไม่มีผลให้ร้อยแคก ยาวขึ้นจากการอยู่ริมแดก จนกระทั่งค่าแรงคงที่ในขณะที่ระยะทางการเคลื่อนที่ของหัวกดขึ้นมาเพิ่มขึ้น แสดงว่าอย่างเดกเริ่มเคลื่อนต่อจากอยู่ริมแดก จนน้ำค่าแรงจะเริ่มสูงขึ้นเป็นแนวเส้นเอียงอีกรั้งซึ่งแสดงถึงการเคลื่อนของรอยแดกไปถึงจุดกดภายใน (Inner rollers) และเลื่อนออกไป เมื่อขังคงให้แรงต่อไปเรื่อยๆ แรงนั้นอาจทำให้ส่วนพื้นที่เลนแดกหรือส่วนไทรเกเนียมงอไปตามแรงกดนั้น ซึ่งไม่มีผลต่อการหาค่าการขัดติดระหว่างวัสดุทั้งสอง จึงออกแบบการทดสอบให้หยุดการให้แรงก่อนการเกิดตึงเหล่านี้ การสังเกตการเคลื่อนที่ของรอยแดกสามารถดูได้จากการที่แสดงถึงค่าแรงและระยะทางของหัวกดบนหน้าจอของเครื่องทดสอบภาคค่าแรงที่คงที่แต่สำหรับร้อยแคกเคลื่อนต่อจากอยู่ริมแดกจะเห็นเป็นเส้นแนวราบแสดงถึงร้อยแคกมีการเคลื่อนตัวอย่างเสถียร (Stable) ข้อมูลดังของแรงในช่วงที่คงที่นี้จะเป็นส่วนที่นำໄไปคำนวณค่า  $G$  ต่อไป โดยแทนค่า  $P$  ในสมการที่ 1 ซึ่งค่าคงที่ต่างๆ จะคำนวณได้จากสมการที่ 2 และ 3 ค่าเฉลี่ยและส่วนเบี่ยงเบนมาตรฐานของค่า  $G$  ของแต่ละกลุ่ม แสดงในตาราง 1

ตาราง 1 ค่าเฉลี่ยและส่วนเบี่ยงเบนมาตรฐานของข้อบทชี้มูลของค่า  $G$  ของแต่ละกลุ่มการศึกษา

กลุ่มที่	ค่า $G$ เฉลี่ย ( $J/m^3$ )	ส่วนเบี่ยงเบนมาตรฐาน (S.D.)	ช่วงความเชื่อมั่น 95%	
			ขอบเขตล่าง	ขอบเขตบน
1	10.9035	2.8708	8.8498	12.9571
2	15.6082	5.0272	12.0119	19.2045
3	15.6742	4.8783	12.1844	19.1639
4	15.5762	3.5966	13.0033	18.1491

การประชุมเสนอผลงานวิชาการระดับบัณฑิตศึกษาแห่งชาติ ครั้งที่ 17 และการสัมมนาวิชาการเพื่อเผยแพร่วิจัยสู่ชุมชน ครั้งที่ 5

จากผลการศึกษาข้างต้นจะพบว่า กลุ่มที่ 1 คือกลุ่มที่เพาช์งานในบรรยายศาสปกิตมีค่า  $G$  เฉลี่ยต่ำที่สุดคือ  $10.9 \text{ J/m}^2$  ส่วนกลุ่มนี้มีค่า  $G$  เฉลี่ยใกล้เคียงกันคือประมาณ  $15.6 \text{ J/m}^2$

เมื่อนำมาทดสอบที่ได้มาวิเคราะห์ผลทางสถิติเปรียบเทียบความแตกต่างของค่า  $G$  เฉลี่ยของแต่ละกลุ่มโดยการใช้การทดสอบความแปรปรวนทางเดียว (One-way ANOVA) และการเปรียบเทียบเชิงชั้น (Multiple comparisons) แบบนอนเพอร์โอนนี (Bonferroni test) เพื่อหาความแตกต่างของค่าเฉลี่ยของค่า  $G$  โดยการจับคู่ที่ละกุ่มครบถ้วนทุกกลุ่มโดยกำหนดนัยสำคัญที่  $0.05$  แสดงในตารางที่ 2 และ 3

ตาราง 2 การเปรียบเทียบค่า  $G$  เฉลี่ย โดยการใช้การทดสอบความแปรปรวนทางเดียว

	Sum of squares	df	Mean square	F	p-value
Between groups	116.856	3	55.619	3.167	0.056
Within groups	623.242	36	17.562		
Total	799.098	39			

ตาราง 3 การเปรียบเทียบเชิงชั้นแบบนอนเพอร์โอนนีของค่า  $G$  เฉลี่ยระหว่างกลุ่ม

การเปรียบเทียบ ระหว่างกลุ่ม	ความแตกต่างของ ค่าเฉลี่ย	p-value	ช่วงความเชื่อมั่น 95%	
			ปีดีจำกัดล่าง	ปีดีจำกัดบน
กลุ่ม 1 – กลุ่ม 2	-4.7047	.100	-9.9373	.5279
กลุ่ม 1 – กลุ่ม 3	-4.7707	.092	-10.0033	.4619
กลุ่ม 1 – กลุ่ม 3	-4.6727	.104	-9.9053	.5599
กลุ่ม 2 – กลุ่ม 3	-.0660	1.000	-5.2986	5.1666
กลุ่ม 2 – กลุ่ม 4	.0320	1.000	-5.2006	5.2646
กลุ่ม 3 – กลุ่ม 4	.0980	1.000	-5.1346	5.3306

การเปรียบเทียบหาก้าวความแตกต่างของค่า  $G$  เฉลี่ยระหว่างกลุ่มต่างๆ โดยการใช้การทดสอบความแปรปรวนทางเดียวตามตารางที่ 2 และการเปรียบเทียบหาก้าวความแตกต่างของค่า  $G$  เฉลี่ยระหว่างกลุ่มต่างๆ แบบนอนเพอร์โอนนีตามตารางที่ 3 พบว่า ได้ค่านัยสำคัญมากกว่า  $0.05$  ทำให้สรุปได้ว่าค่า  $G$  เฉลี่ยของไทยเนื้ยมกับพอร์ซเลนในการเผาในบรรยายศาสตร์ก่อนและบรรยายศาสปกิตไม่แตกต่างกันทางสถิติ ( $P>0.05$ )

### อภิปรายผล

การศึกษานี้เป็นการวัดค่าการซีดติดระหว่างไทด์เนียมกับพอร์ชเลนด้วยวิธีการทางกลศาสตร์ เป็นการวัดค่า Strain energy release rate ( $G$ -value) มีหน่วยเป็น  $J/m^2$  โดยการทดสอบชนิดการทดสอบคัตติ้ง 4 จุด (Four-point bending) ในเครื่องทดสอบสามเหลี่ยม (Universal testing machine) ซึ่งรองรับกระห่วงขั้นไทด์เนียมกับพอร์ชเลนในขณะทดสอบจะไม่มีลักษณะที่เป็นความเห็นตรงๆ และรายละเอียดจะเกิดขึ้นไปอย่างเดียว การทดสอบนี้น้ำวิธีการมาจากการศึกษาของ Suansuwan (Suansuwan, Swain, 2003) ซึ่งพัฒนามาจาก การศึกษาของ Charalambides และคณะในปี 1989 ซึ่งผลการศึกษาภายใต้ข้อจำกัดของการศึกษานี้สามารถสรุปได้ว่า ค่าการซีดติดระหว่างไทด์เนียมกับพอร์ชเลนเมื่อเทียบในบรรเทากาศอาร์กอนในขั้นตอนต่างๆ กันกับค่าการซีดติดเมื่อเทียบในบรรเทากาศปกติ ไม่แตกต่างกันทางสถิติ ( $p < 0.05$ ) แต่มีพิจารณาหากค่า  $G$  เฉลี่ยของพบว่ากุ่มที่ 1 ซึ่งอาจเป็นสาเหตุที่ทำให้ขั้นสารซีดในบรรเทากาศปกติมีค่าต่ำสุดคือ  $10.90 \pm 2.87 J/m^2$  ในขณะที่อีก 3 กุ่มนี้ค่า  $G$  เฉลี่ยที่  $15.60 \pm 5.02 J/m^2$ ,  $15.67 \pm 4.87 J/m^2$  และ  $15.57 \pm 3.59 J/m^2$  ตามลำดับซึ่งทั้งสามกุ่มเริ่มเพาะชำขั้นทดลองที่ทางขั้นสารซีดในบรรเทากาศอาร์กอนเหมือนกันก่อนเคลื่อนขั้นไทด์เนียมและเคนทินพอร์ชเลนในขั้นต่อไป ซึ่งขั้นสารซีดเป็นขั้นที่สัมผัสกับผิวไทด์เนียมโดยตรงและผลการทดลองทั้งสามกุ่มนี้ค่าไกด์เคิงกันมาก ซึ่งแสดงถึงกันการศึกษาของ Atsu และ Berkson ที่ระบุงานว่าการเพาะในบรรเทากาศอาร์กอนจะช่วยขับยังการเกิดปฏิกิริยาออกซิเดชันของไทด์เนียมและทำให้การซีดติดระหว่างไทด์เนียมกับพอร์ชเลนคื้นเมื่อเทียบกับการเพาะตามปกติ (Atsu & Berkson, 2000)

เมื่อนำค่า  $G$  เฉลี่ยมาเปรียบเทียบกับการศึกษาของธรรมวิทย์ เครชชาร์ตาไฟ (Decha-Umpai, 2009) จะพบว่าค่า  $G$  เฉลี่ยของกุ่มที่ 1 ที่มีการปรับผิวและการทาสารซีดในบรรเทากาศอาร์กอน มีค่าต่ำกว่าค่า  $G$  เฉลี่ยในการศึกษาของธรรมชั่งมีค่า  $G$  เฉลี่ย  $27.75 \pm 4.20 J/m^2$  มาก ทั้งนี้เนื่องจากมีวิธีการบางขั้นตอนที่ต่างกัน เช่น ขั้นตอนทาสารกัดคิวไทด์เนียมใช้ระยะเวลาต่างกัน ขั้นตอนการเป่าแห้งอยู่ในไม้มีส่วนผสมของผงชิลิกา ระยะเวลาการเป่าแห้งต่างกัน การถังทำความสะอาดพื้นผิวหลังการเป่าแห้งใช้น้ำกลั่นโดยไม่ได้ใช้เครื่องเบ้าความอุ่นของทาร์กิฟท์เพื่อทำความสะอาด อาจเป็นส่วนที่ทำให้เกิดข้อบกพร่องที่ทำให้การซีดติดระหว่างไทด์เนียมกับพอร์ชเลนในการศึกษานี้ลดลง ทำให้ค่า  $G$  ต่ำกว่าการศึกษาที่ผ่านมา

### ข้อเสนอแนะ

ในการศึกษานี้พบข้อจำกัดหลายประการ ได้แก่ การสร้างพื้นที่ทำงานเป็นกล่องปิดเพื่อบรรจุก้าชาศอาร์กอนทำให้การเตรียมขั้นงานในแต่ละขั้นตอนทำได้ยากลำบาก ได้แก่ การทาสารกัดคิว การเป่าแห้งอยู่ในไม้มีส่วนผสมของผงชิลิกา การถังทำความสะอาดพื้นผิวไทด์เนียม จึงควรมีการพัฒนาออกแบบอุปกรณ์ที่ใช้ใน

การทดลองใช้ตัวชี้วัดเพื่อให้ผลการศึกษามีโอกาสเกิดความผิดพลาดน้อยลงและอาจพัฒนาเป็นอุปกรณ์ที่ได้มาตรฐานต่อไปในอนาคต

การมีการศึกษาการใช้ส่วนผสมของกรดที่ใช้กัดผิวไทยเทเนียมเพื่อทำให้เกิดความชุบระนพผิวไทยเทเนียมว่าควรใช้ในลักษณะใด และระยะเวลาท่าไครจังจะได้กิ่วที่มีลักษณะที่ต้องการ ซึ่งอาจเป็นปัจจัยที่ส่งผลต่อการรักษากระห่วงไทยเทเนียมกับพอร์เชเดน

ควรมีการศึกษาปัจจัยการควบคุมปริมาณกาชาดของรัฐบาลน่วงปัจจัยความเสี่ยงขั้นมากน้อยเท่าไร ซึ่งจะทำให้เกิดขั้นตอนใดๆ ที่เหมาะสม ซึ่งอาจเป็นอีกปัจจัยหนึ่งที่ส่งผลต่อการบังคับใช้กฎหมาย

ผลการจากศึกษาการบีดคิดคร่าวว่างไทยเนี่ยเข้มกับชั้นพ่อรorchленคัววิธีการเพอาในบรรดาภาคที่แทกดังต่อไปนี้

เอกสารอ้างอิง

- Al Hussaini, I., & Al Wazzan, K. A. (2005). Effect of surface treatment on bond strength of low-fusing porcelain to commercially pure titanium. *J Prosthet Dent*, 94(4), 350-356.

Atsu, S., & Berksun, S. (2000). Bond strength of three porcelains to two forms of titanium using two firing atmospheres. *J Prosthet Dent*, 84(5), 567-574.

Cai, Z., Bunce, N., Nunn, M. E., & Okabe, T. (2001). Porcelain adherence to dental cast CP titanium: effects of surface modifications. *Biomaterials*, 22(9), 979-986.

Caputo, A., Dunn, B., & Reisbick, M. (1977). A flexure method for evaluation of metal-ceramic bond strengths. *J Dent Res* 56, 1501-1506.

Chung, H. G., Swain, M. V., & Mori, T. (1997). Evaluation of the strain energy release rate for the fracture of titanium-porcelain interfacial bonding. *Biomaterials*, 18(23), 1553-1557.

Decha-umpai A.(2009). **The adhesion of dental porcelain to titanium surface modified with alumina and Silica blasting under argon atmosphere**.[Master Thesis in Prosthodontics ].Khon Kaen: The Graduate School,Khon Kaen University.

Hammad, I. A., & Talic, Y. F. (1996). Designs of bond strength tests for metal-ceramic complexes: review of the literature. *J Prosthet Dent*, 75(6), 602-608.

- Lautenschlager, E. P., & Monaghan, P. (1993). Titanium and titanium alloys as dental materials. *Int Dent J*, 43(3), 245-253.
- Pang, I. C., Gilbert, J. L., Chai, J., & Lautenschlager, E. P. (1995). Bonding characteristics of low-fusing porcelain bonded to pure titanium and palladium-copper alloy. *J Prosthet Dent*, 73(1), 17-25.
- Papadopoulos, T., Tsetsekou, A., & Eliades, G. (1999). Effect of aluminium oxide sandblasting on cast commercially pure titanium surfaces. *Eur J Prosthodont Restor Dent*, 7(1), 15-21.
- Sadeq, A., Cai, Z., Woody, R. D., & Miller, A. W. (2003). Effects of interfacial variables on ceramic adherence to cast and machined commercially pure titanium. *J Prosthet Dent*, 90(1), 10-17.
- Suansuwan, N., & Swain, M. V. (2003). Adhesion of porcelain to titanium and a titanium alloy. *J Dent*, 31 (7), 509-518.
- Wang, R. R., & Fenton, A. (1996). Titanium for prosthodontic applications: a review of the literature. *Quintessence Int*, 27(6), 401-408.
- Wang, R. R., & Fung, K. K. (1997). Oxidation behavior of surface-modified titanium for titanium-ceramic restorations. *J Prosthet Dent*, 77(4), 423-434.
- Wang, R. R., Welsch, G. E., & Monteiro, O. (1999). Silicon nitride coating on titanium to enable titanium-ceramic bonding. *J Biomed Mater Res*, 46(2), 262-270.
- Wataha, J. C. (2002). Alloys for prosthodontic restorations. *J Prosthet Dent*, 87(4), 351-363.
- Yamada, K., Onizuka, T., Endo, K., Ohno, H., & Swain, M. V. (2005). The influence of Goldbonder and pre-heat treatment on the adhesion of titanium alloy and porcelain. *J Oral Rehabil*, 32(3), 213-220.



**มหาวิทยาลัยราชภัฏธนบุรีรับมี  
เกียรติบัตรฉบับนี้ให้ไว้เพื่อแสดงว่า**

**นายบุษอนัน พินทรหนองใจ**

ได้นำเสนอผลงานวิจัยระดับบัณฑิตศึกษา รูปแบบการนำเสนอแบบโปสเตอร์  
ในการประชุมเสนอผลงานวิจัยระดับบัณฑิตศึกษาแห่งชาติ ครั้งที่ ๑๗  
และ โครงการสัมมนาวิชาการและเผยแพร่วิจัยสู่ชุมชน ครั้งที่ ๕

วันที่ ๒๕ มิถุนายน พ.ศ. ๒๕๕๗

D- ✓

(รองศาสตราจารย์ゴกิวิท เซ่องกลาง)  
อธิการบดี

